

Abb. 26.1 Menge Ammoniak im Ammoniak-Gleichgewicht in Abhängigkeit von Druck und Temperatur

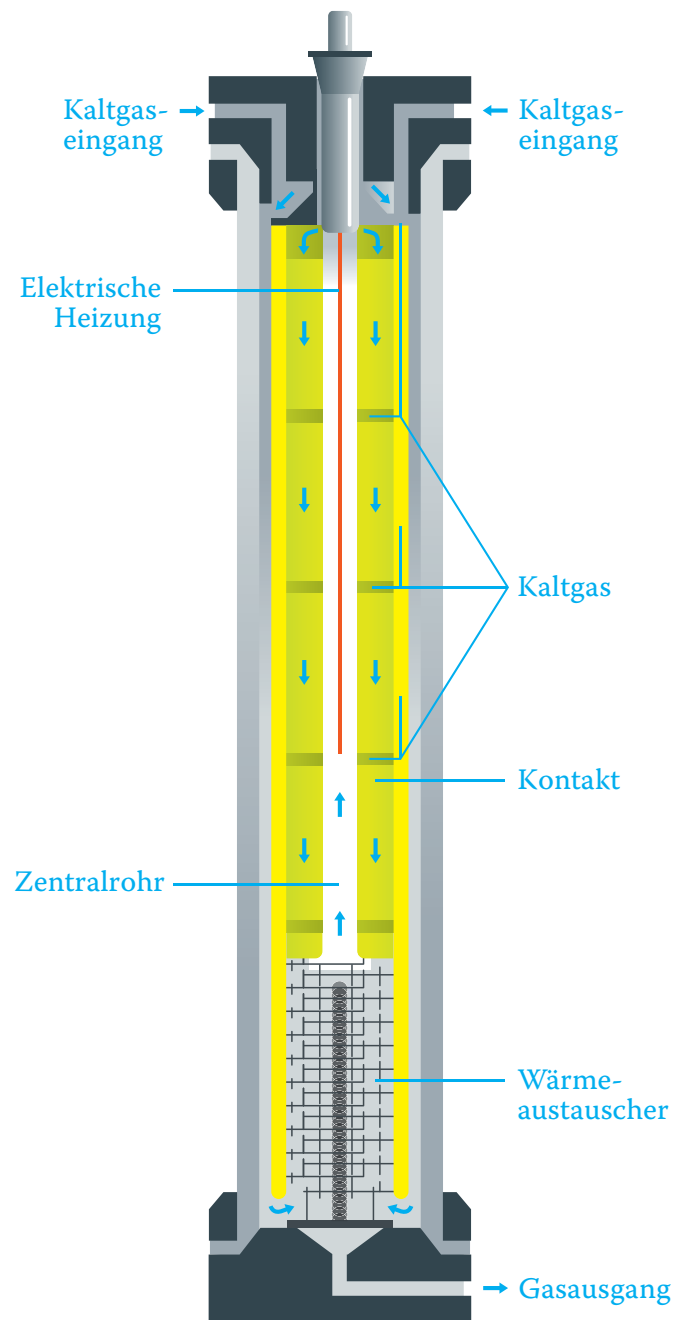


Abb. 26.2 Schema eines Reaktors zur Ammoniak-Synthese

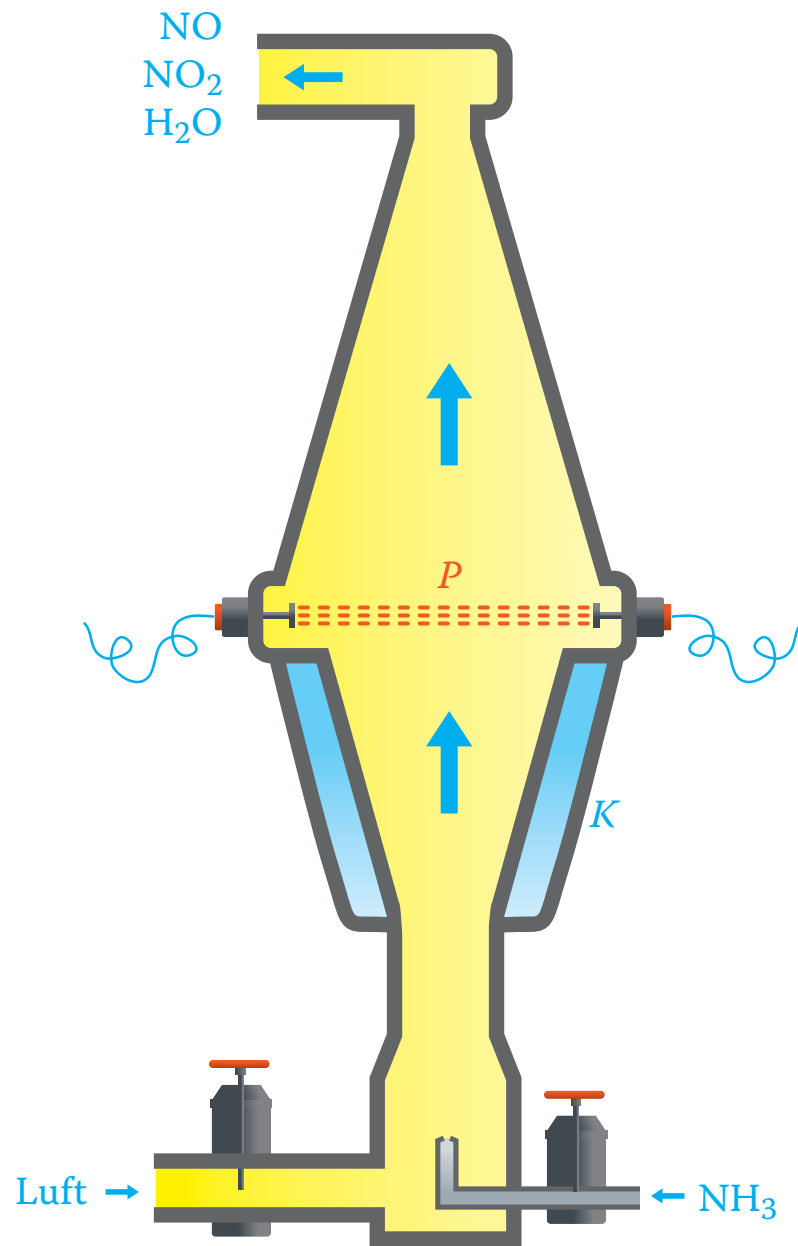


Abb. 26.3 Schema der Ammoniakoxidation nach Ostwald. K Wasserkühlung, P Platindrahtnetze, elektrisch heizbar

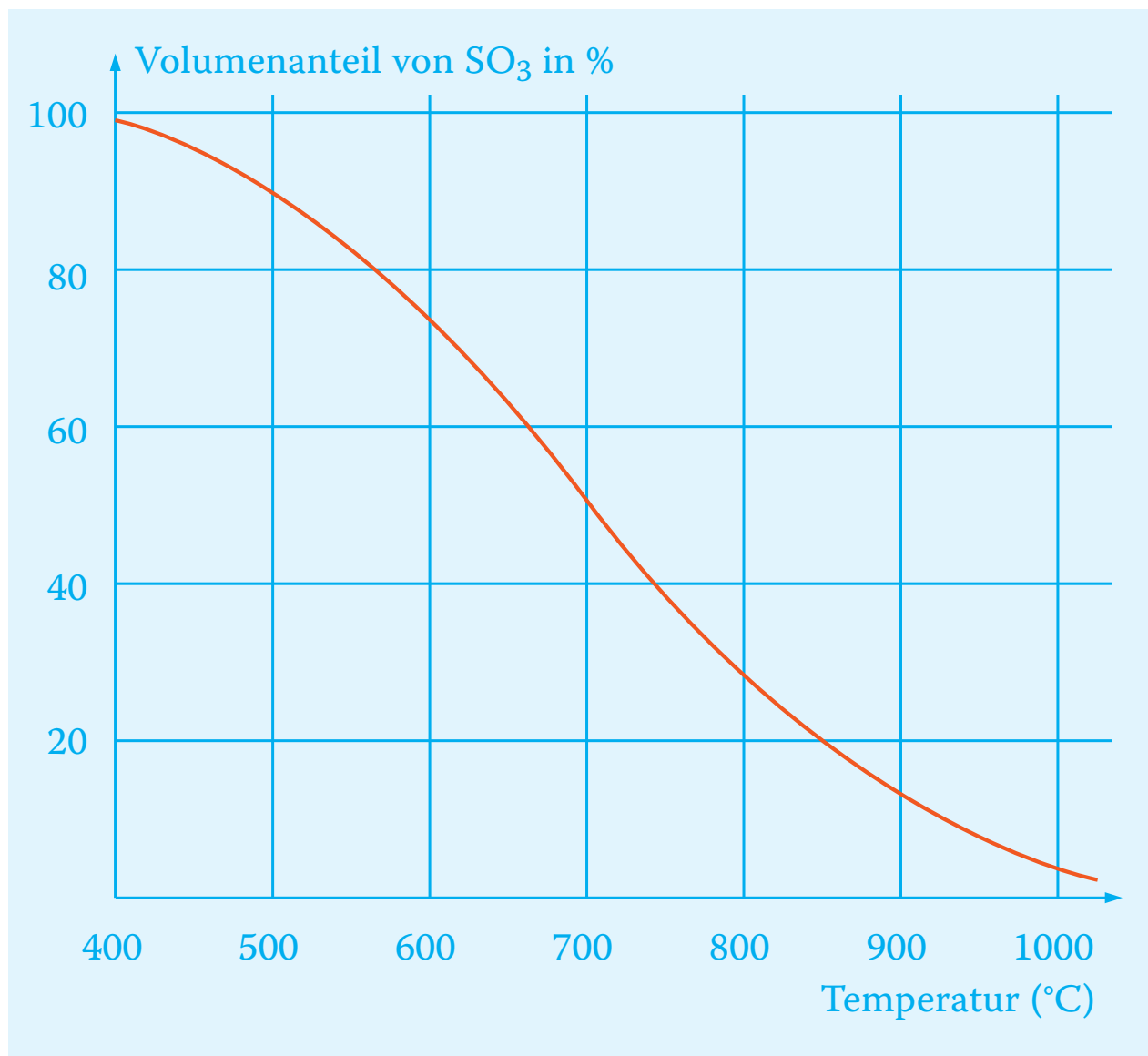


Abb. 26.4 Volumenanteil Schwefeltrioxid im Gleichgewicht von SO₂, O₂ und SO₃. Mit zunehmender Temperatur sinkt der Anteil von Schwefeltrioxid stark

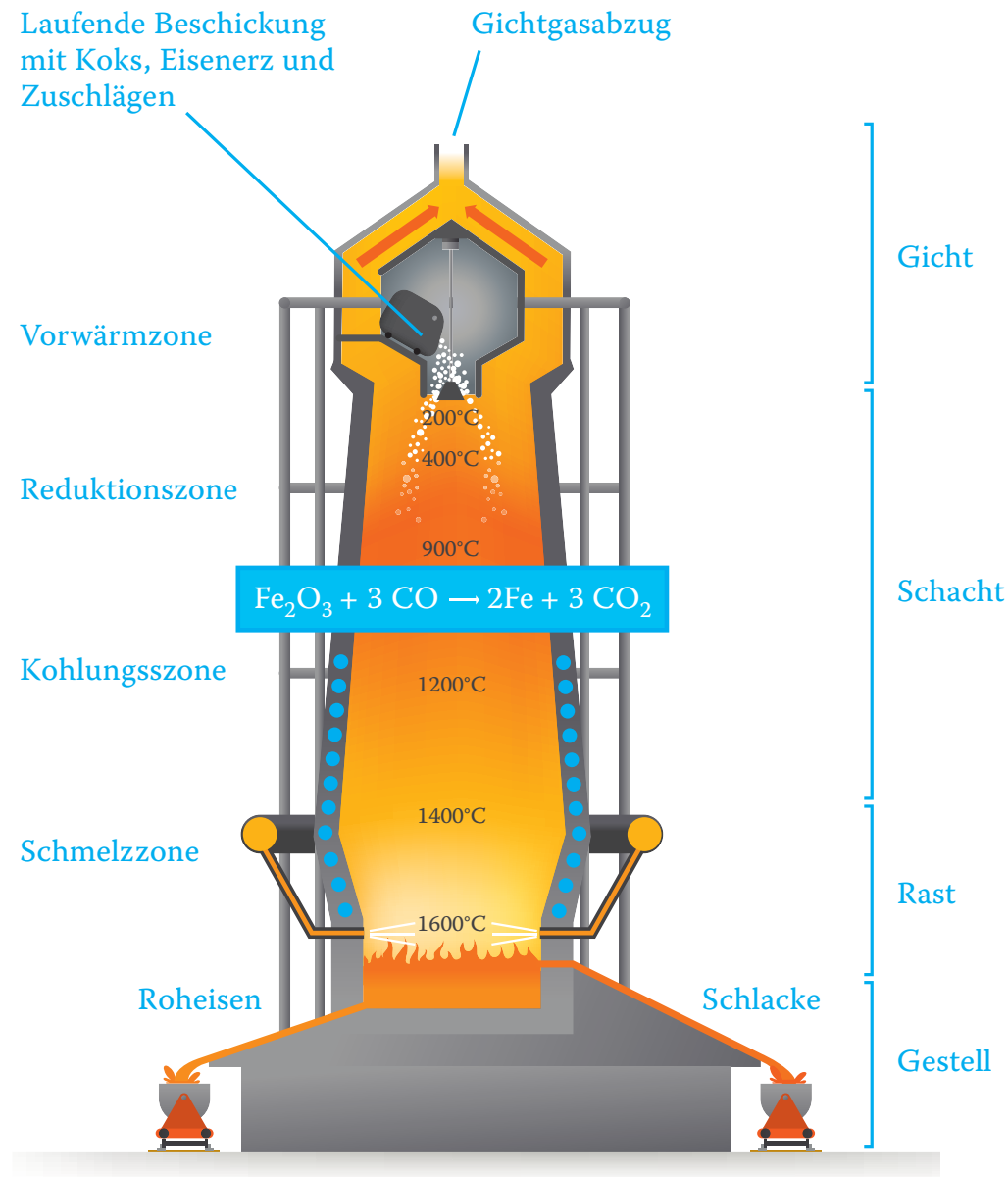


Abb. 26.9 Hochofen-Schnittbild. Im Mauerwerk befindet sich die Kühlung durch Wasser (blau). Die Ringleitungen (gelb) dienen zum Einblasen des Heisswindes

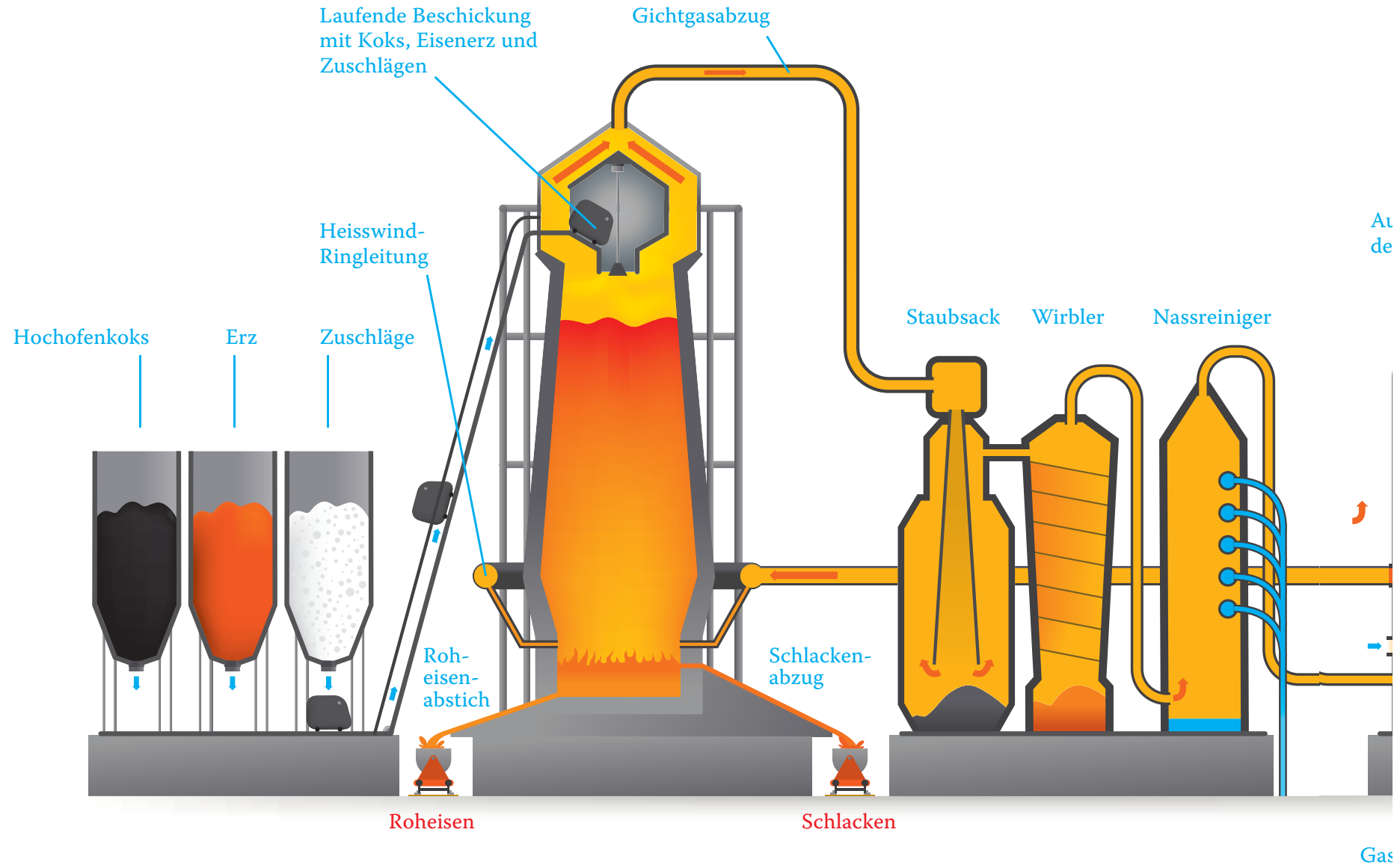
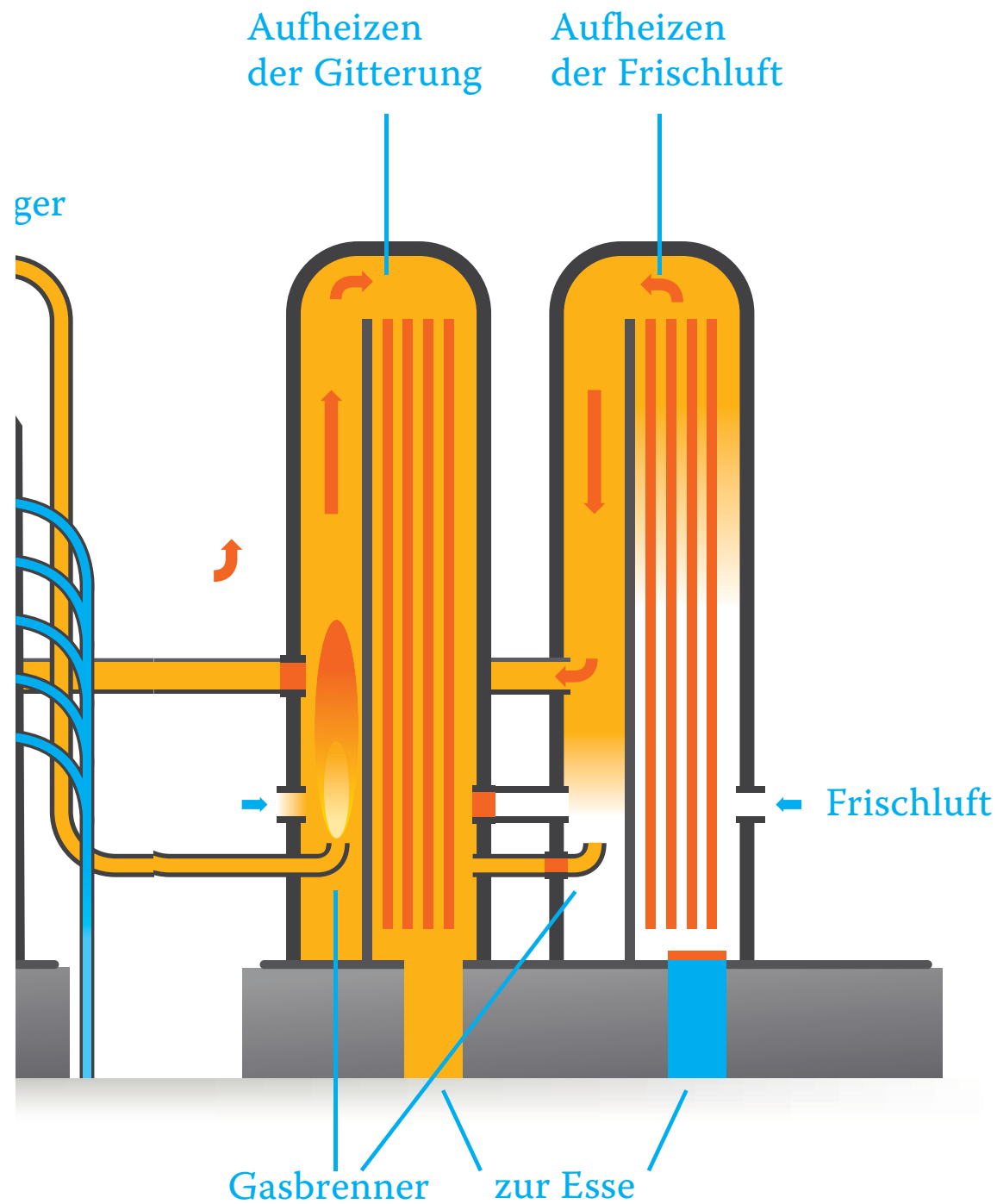
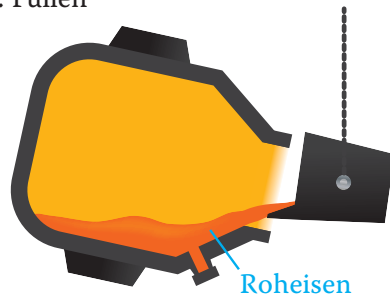


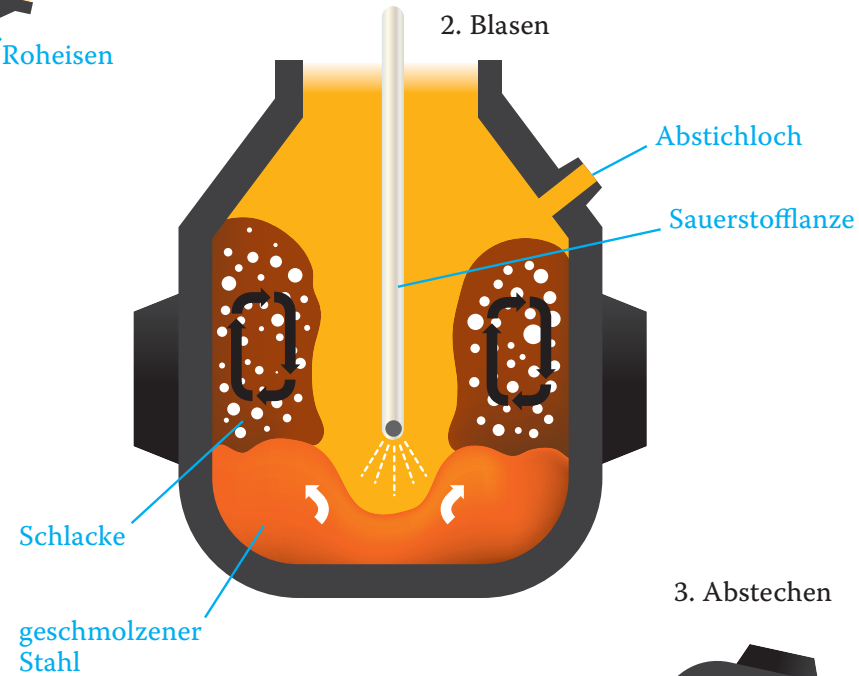
Abb. 26.10 Hochofenanlage schematisch



1. Füllen



2. Blasen



3. Abstechen

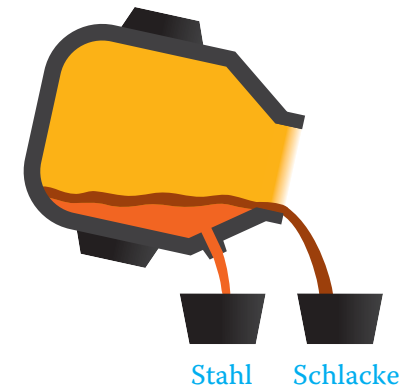


Abb. 26.11 Der Sauerstoff, der unter hohem Druck auf das Roheisen geblasen wird, oxidiert Kohlenstoff sowie Silicium, Phosphor, Mangan und Schwefel